

# SÍNTESE DE NANOMATERIAIS HÍBRIDOS DE CARBONO POROSO E METAIS DE TRANSIÇÃO PARA ELETRORREDUÇÃO DE OXIGÊNIO

Rodrigo Gabriel Bueno (PIBIC/CNPq), Thelma S. P. Cellet (Coorientadora), Guilherme Miranda Pereira (Orientador). E-mail: gmpereira2@uem.br

UEM - Campus Regional de Goioerê, Centro de Ciências Exatas

#### Química/Físico-Química

Palavras-chave: Carbono dopado com N; Eletrocatálise; ORR.

#### **RESUMO**

Um dos maiores desafios na pesquisa de tecnologias para combustíveis é encontrar combustíveis renováveis e limpos, destacando-se a necessidade de catalisadores eficazes para que o uso destes seja possível. O trabalho apresenta a síntese de materiais carbonáceos mesoporosos para uso em células a combustível. Esses catalisadores são derivados de resina de melamina-formaldeído contendo Co<sup>2+</sup> ou Ni<sup>2+</sup> e foram avaliados para a reação de eletrorredução de oxigênio (ORR). A caracterização das resinas e materiais carbonáceos, antes e após tratamento com HNO<sub>3</sub>, foi realizada por FTIR, DRX, espalhamento Raman, MEV, TEM, análise termogravimétrica. Os materiais carbonáceos foram usados eletrocatalisadores na ORR, exibindo desempenho comparável a 20% de Pt em carbono, catalisador tido como "padrão ouro" para esta reação.

# INTRODUÇÃO

Recentemente, na conferência do Clima COP26, quase 200 países reafirmaram o compromisso de limitar o aquecimento global em 1,5 °C, estabelecido na COP21. Além disso, foi reconhecida, pela primeira vez, a necessidade de se realizar a transição dos combustíveis fósseis para renováveis. Estes acordos impulsionam ainda mais a pesquisa e o desenvolvimento de tecnologias de baixo custo na produção de células a combustíveis (FC) em larga escala para mitigar o uso das commodities derivadas do petróleo.

As FC são dispositivos eletroquímicos que convertem energia química em eletricidade e calor usando catalisadores para aumentar a eficiência. As FC podem usar a reação de oxidação do H<sub>2</sub> no ânodo e redução de O<sub>2</sub> (ORR) no cátodo. Esse processo é ambientalmente correto, pois único produto gerado é água (EJIKEME; MAKGOPA; OZOEMENA, 2016). Pt e suas ligas são os catalisadores atualmente usados nas reações o que encarece a FC e incentiva a busca de alternativas.

Este trabalho apresenta uma rota sintética simples e econômica para criar materiais híbridos de carbono modificado com nitrogênio, usando resina melamina-formaldeído (RMF) como precursor. A presença de heteroátomos na estrutura do carbono e a combinação de com metais de transição pode gerar um efeito sinérgico potencializando a eficiência eletrocatalítica desses materiais.











# **MATERIAIS E MÉTODOS**

A RMF foi sintetizada dissolvendo 2,50 g de Pluronic<sup>®</sup> 123 em 150 mL de água a 60°C, seguida da adição de melamina (17,6 mmol) e formaldeído (53,0 mmol). Após, 150 mg de NaOH foi adicionado e reação ficou sob agitação por 5h. A síntese da RMF-Co e RMF-Ni incluiu Co(NO<sub>3</sub>)<sub>2</sub> ou Ni(NO<sub>3</sub>)<sub>2</sub> após as 5 h numa razão molar 2:1 melamina:metal, mantendo a solução por mais 30 min. As resinas foram submetidas reticulação a 180°C por 4 h.

A pirólise foi realizada com rampa de 1°C·min<sup>-1</sup> até 300°C, seguida de aquecimento a 700°C, mantendo por 30 min em cada patamar, gerando as amostras NC, NC-Co e NC-Ni. Após, as amostras foram tratadas com HNO<sub>3</sub>, gerando as amostras NC-H, NC-Co-H e NC-Ni-H. As RMF foram caracterizadas por FTIR e os materiais carbonáceos por DRX, Raman, sorção de N<sub>2</sub>, TGA (em ar), MEV, TEM e voltametria de varredura linear (LSV). Na LSV foi utilizado carbono vítreo como eletrodo de trabalho, calomelano saturado como referência, bastão de grafite como contra-eletrodo e KOH 0,1 mol·L<sup>-1</sup> saturado com O<sub>2</sub> como eletrólito. As amostras foram dispersas em solução de isopropanol:água contendo nafion, com a velocidade de varredura a 20 mV·s<sup>-1</sup>.

## **RESULTADOS E DISCUSSÃO**

A síntese das resinas foi comprovada por FTIR. Nos espectros observa-se o desaparecimento das bandas de estiramento (em 1659 cm<sup>-1</sup>) e a deformação de N-H (3130-3472 cm<sup>-1</sup>) de amina primária da melamina. Ainda, há o surgimento de bandas em 1342 cm<sup>-1</sup> e na região 2870-2970 cm<sup>-1</sup> atribuídos ao estiramento de C-N de amina terciária e C-H de grupos metileno, respectivamente. Entretanto, no espectro da RMF observa-se dois ombros, em 1738 cm<sup>-1</sup>, atribuído a C=O de formaldeído que não reagiu, e em 1659 cm<sup>-1</sup>, referente ao N-H de amina primária da melamina (FRIEDEL; GREULICH-WEBER, 2023). Isto sugere que a reação de polimerização foi mais efetiva quando Co<sup>2+</sup> ou Ni<sup>2+</sup> foram adicionados ao processo de reticulação.

Nos difratogramas de raios-X para as resinas pirolisadas antes (Fig. 1-I) e após o tratamento com HNO<sub>3</sub> (Fig. 1-II) verifica-se um pico alargado em 26,1º atribuído ao halo amorfo do carbono. Somente nas amostras contendo metais são observados 2 picos referentes a fase metálica em 45,6º e 51,6º para Co (JCPDS 01-1255) e 44,6º e 51,9º para Ni (JCPDS 01-1260). Também são observados picos menos intenso de óxidos, o que pode indicar que a oxidação não deve ter ocorrido na pirólise, mas no processo de lavagem e secagem das amostras. Após o tratamento ácido não foram observados picos da fase metálica e de óxidos.

Nos espectros de espalhamento Raman para as resinas pirolisadas antes e após o tratamento ácido (Fig. 1-III), verifica-se as bandas D, G e 2D do carbono. A banda D é referente ao grau defeitos na estrutura e a G ao grau de grafitização, já a 2D é usada para verificar o empilhamento das camadas grafíticas. Observa-se que as bandas D e G possuem intensidades comparáveis, com isso pode-se avaliar o grau de organização utilizando a razão entre as intensidades destas bandas (I<sub>D</sub>/I<sub>G</sub>). A razão I<sub>D</sub>/I<sub>G</sub> para NC-Co e NC-Ni são praticamente as mesmas e pouco maior que da NC. Este resultado indica que os metais usados influenciam na grafitização. Após











o tratamento ácido houve diminuição de  $I_D/I_G$  na NC-Co e NC-Ni, sugerindo uma estrutura carbônica com menos defeitos. O HNO $_3$  é um ácido oxidante, assim o que pode estar ocorrendo é que a fração carbonácea com mais defeitos, que é mais susceptível à oxidação, oxida tornando a dispersão desta fração mais estável. Isto dificulta a precipitação da mesma na purificação tornando o material mais rico na fração com menos defeitos.

Nas isotermas de sorção de  $N_2$  verifica-se que as amostras possuem isoterma tipo IV, caracterizada pela presença de histerese típica de materiais mesoporosos. NC-Ni e NC-Co apresentam histerese tipo H3 característica de poros em formato de fenda. Já a NC exibe histerese tipo H2, atributo de materiais com formato de poros indefinido (SING; EVERETT, HAUL *et al.* 1985). Verifica-se que os íons metálicos influenciam na área superficial do material carbonáceo. NC-Co e NC-Ni exibem área superficial de 57 m²/g e 145 m²/g, enquanto que NC possui 380 m²/g. Com tratamento ácido, as áreas superficiais aumentaram para 294 e 439 m²/g na NC-Co-H e NC-Ni-H, indicando a remoção das partículas que anteriormente estavam oclusas nos poros, corroborando com o DRX.

O TGA foi realizado para avaliar a estabilidade oxidativa e a eficiência do tratamento ácido (Fig. 1-IV). Nota-se uma diminuição da estabilidade térmica de NC-Co e NC-Ni frente à NC. Isso se deve ao metal poder agir como catalisador na reação de decomposição de compostos orgânicos. As amostras exibem etapa de perda de massa em 300°C na NC-Co, 340°C na NC-Ni e 420 °C na NC. Uma vez que a NC-Ni possui 60% de metal em sua composição, observa-se uma etapa de ganho de massa, que se deve a reação de formação de NiO pelo contato com o O<sub>2</sub> do fluxo. Verifica-se também, uma diminuição na quantidade de metal após o tratamento ácido de 91,6% de Co e 92,1% de Ni.

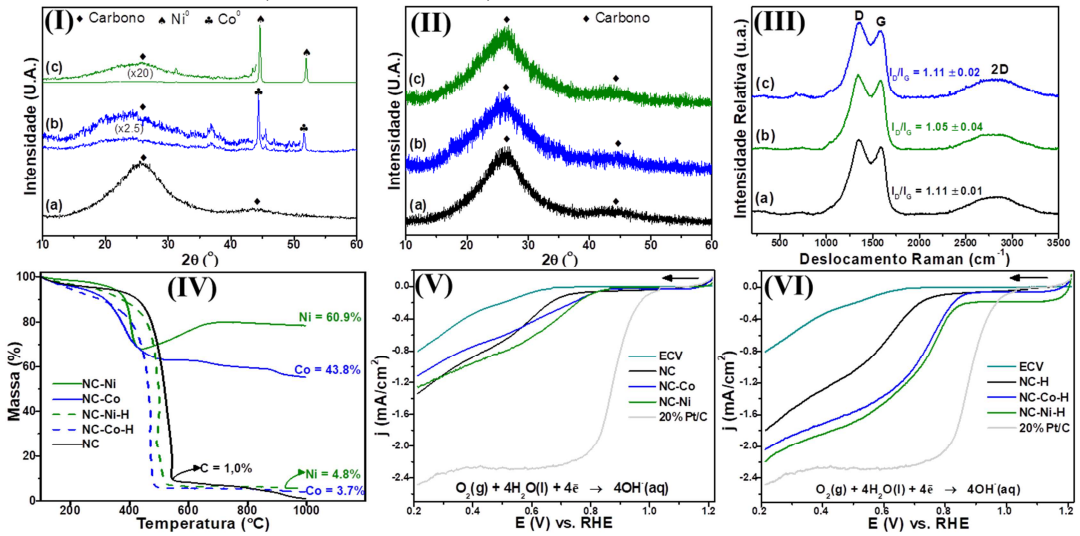


Figura 1 – (I) e (II) DRX de NC, NC-Co e NC-Ni, antes e após tratamento ácido. (III) Raman de NC-H, NC-Co-H e NC-Ni-H. (IV) TGA. (V) LSV de NC, NC-Co e NC-Ni. (VI) NC-H, NC-Co-H e NC-Ni-H.

As medidas de LSV mostram que a presença do metal altera a corrente e o sobrepotencial na ORR. Após o tratamento ácido, observou-se uma melhoria na atividade, evidenciada por um deslocamento positivo de 40 mV no sobrepotencial de inicio e um aumento na densidade de corrente. Embora o aumento de área











superficial devido à remoção dos metais possa explicar parte dessa melhoria, as diferenças de atividades entre amostras não podem ser atribuídas apenas à área superficial. Além disso, na amostra com diminuição na área superficial, como a NC-H, houve um aumento na atividade, sugerindo que a estrutura carbonácea contribui significativamente para a atividade eletrocatalítica. Por fim, a NC-Ni-H foi a que apresentou o melhor resultado, com densidade de corrente comparável ao catalisador padrão de 20% de Pt/C, indicando um potencial promissor para aplicações na ORR.

# **CONCLUSÕES**

Neste trabalho, resinas de Melamina-Formaldeído pura e contendo Co ou Ni, foram sintetizadas e confirmadas via FTIR, indicando que a presença dos metais melhora a polimerização. A caracterização dos materiais mesoporosos de carbono sintetizados a partir das resinas com e sem Co ou Ni foi realizada por DRX, espalhamento Raman, sorção de N₂, TGA, MET e TEM. O DRX revelou que a pirólise produziu espécies metálicas de Co ou Ni, com traços de óxidos. A relação  $I_D/I_G$  obtida pelos espectros Raman indicou a presença de áreas grafitizadas e defeituosas na estrutura carbonácea. A introdução de diferentes metais antes da pirólise reduziu a área superficial, porém o tratamento ácido aumentou a área por desobstrução dos poros, confirmado por TGA. Os materiais carbonáceos exibiram atividade eletrocatalítica na ORR, com melhora significativa após a remoção dos metais, alcançando densidades de corrente comparáveis ao "padrão ouro" 20% Pt/C. No entanto, medidas eletroquímicas adicionais são necessárias para entender o mecanismo e a cinética da reação, bem como análises composicionais superficiais como XPS para esclarecer a origem dos sítios catalíticos ativos.

#### **AGRADECIMENTOS**

Ao CNPq, à CAPES, à Fundação Araucária e à UEM.

### REFERÊNCIAS

EJIKEME, P. M.; MAKGOPA, K.; OZOEMENA, K. I. **Nanomaterials for Fuel Cell Catalysis**. Berkeley (USA): Editora Springer, 2016. p. 518.

FRIEDEL, B.; GREULICH-WEBER, S. Preparation of monodisperse, submicrometer carbon spheres by pyrolysis of melamine-formaldehyde resin. **Small,** v. 2, n. 7, p. 859-863, Jul. 2006. Disponível em: https://doi.org/10.1002/smll.200500516. Acesso em: 21 de agosto de 2023.

SING, K. S. W. et al. Reporting Physisorption Data for Gas Solid Systems With Special Reference to the Determination of Surface-Area and Porosity (Recommendations 1984). **Pure and Applied Chemistry,** v. 57, n. 4, p. 603-619, 1985. Disponível em: https://publications.iupac.org/pac/57/4/0603/index.html. Acesso em: 21 de agosto de 2023.







